

本试卷共8页，共100分。考试时长90分钟。考生务必将答案答在答题纸上，在试卷上作答无效。考试结束后，将本试卷和答题纸一并交回。

第一部分

本部分共 10 题，每题 3 分，共 30 分。在每题给出的四个选项中，有的题只有一个选项是正确的，有的题有多个选项是正确的。全部选对的得 3 分，选不全的得 2 分，有选错或不答的得 0 分。把正确的答案填涂在答题纸上。

1. 真空中某区域的电场线分布如图 1 所示， M 、 N 为电场中的两点。下列说法正确的是

- A. 该电场为匀强电场
- B. 该电场为非匀强电场
- C. M 点的场强比 N 点的场强小
- D. M 点的电势比 N 点的电势低

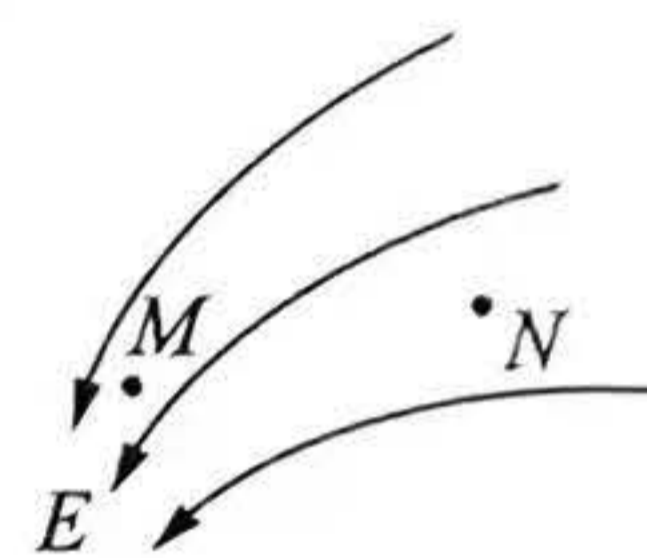


图 1

2. 图 2 所示的电路中，闭合开关 S 后，电流表的示数为 0.20A 。已知电源内阻 $r = 1.0\Omega$ ，电阻 $R = 9.0\Omega$ ，电流表和电压表均视为理想电表。

下列说法正确的是

- A. 电压表的示数为 1.8V
- B. 电源的电动势为 1.8V
- C. 电阻 R 的电功率为 0.4W
- D. 电路消耗的总功率为 0.4W

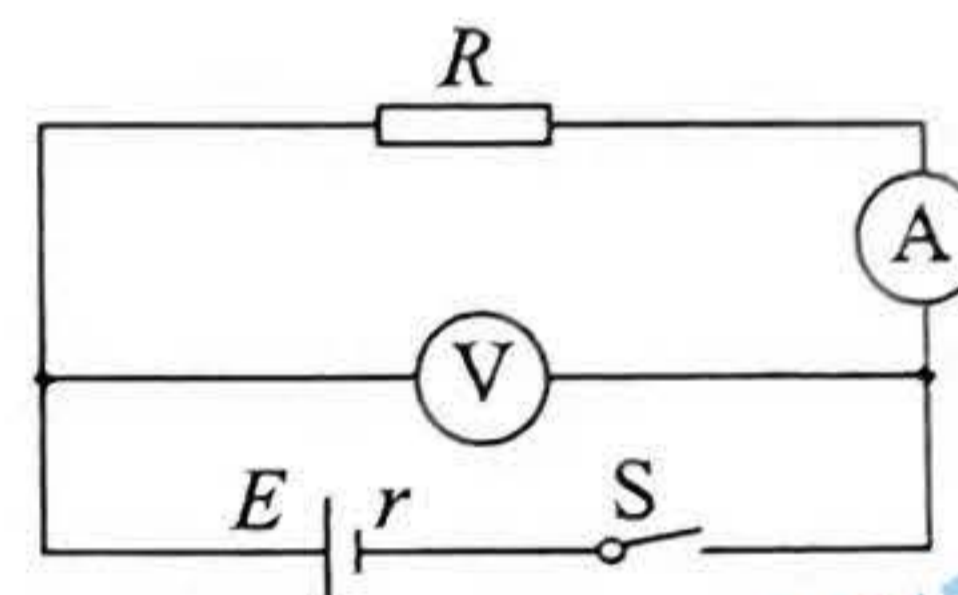


图 2

3. 在恒定的匀强磁场中固定一根通电直导线，导线的方向与磁场方向垂直。图 3 反映的是这根导线受到的磁场力大小 F 与通过导线的电流 I 之间的关系， M 、 N 两点各对应一组 F 、 I 的数据，其中可能正确的是

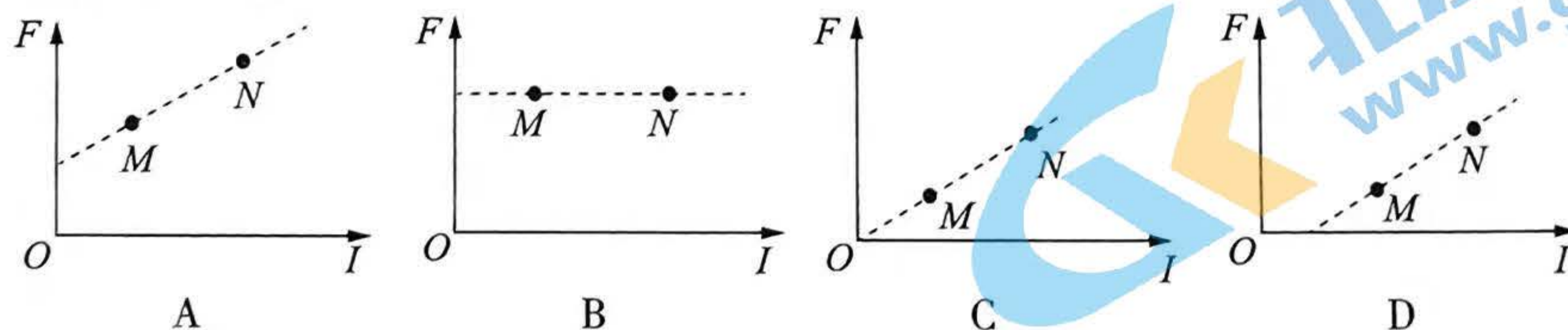


图 3

4. 如图 4 所示，置于水平面上的两根金属导轨间距为 L ，分别与电源正、负极相连。导体棒 ab 放在导轨上且与导轨垂直，整个装置处于磁感应强度大小为 B 的匀强磁场中，磁场方向垂直于导体棒，且与导轨平面夹角为 θ 。已知回路中电流为 I ，导体棒始终处于静止状态。关于导体棒的受力情况，下列说法正确的是

- A. 安培力大小为 0
- B. 安培力大小为 ILB
- C. 静摩擦力大小为 $ILB\cos\theta$
- D. 静摩擦力大小为 $ILB\sin\theta$

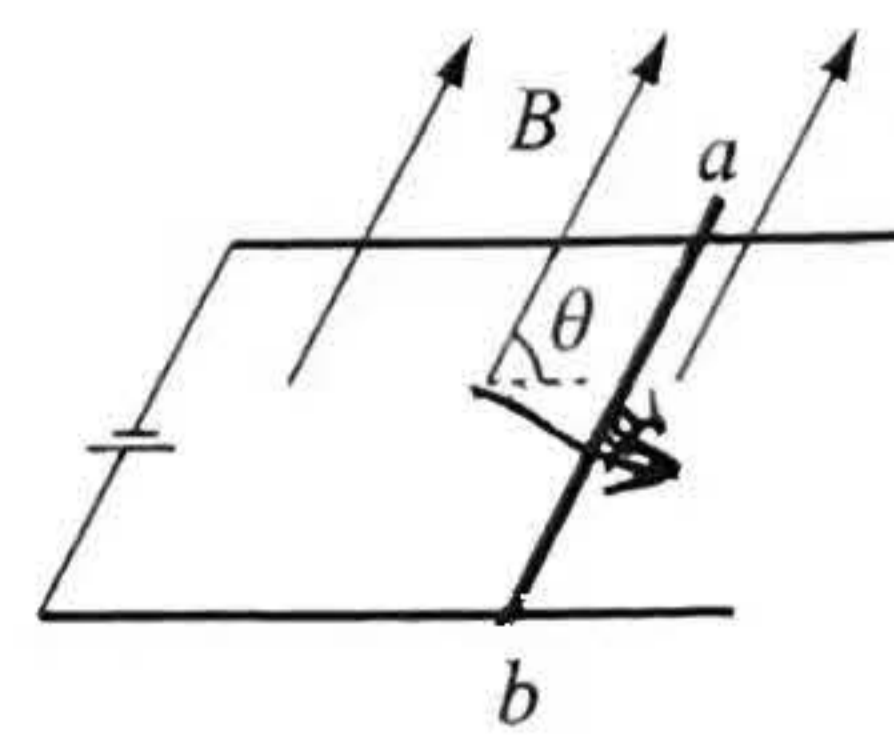


图 4

5. 某手机若只播放视频, 可以播放约 17 小时, 其说明书的部分内容如右表所示。关于该手机, 下列说法正确的是

手机类型	智能手机、4G 手机
屏幕分辨率	1920 × 1080 像素
电池容量	4000 mA · h
电池类型	不可拆卸式电池
待机时间	约 22 天

- A. 充满电时电池可储存的最大能量为 4J
- B. 放电时电池可输出的最大电荷量为 4C
- C. 播放视频时平均电流约为待机状态平均电流的 1.3 倍
- D. 播放视频时平均电流约为待机状态平均电流的 30 倍

6. 某同学用图 5 所示装置探究影响感应电流方向的因素, 将磁体从线圈中向上匀速抽出时, 观察到灵敏电流计指针向右偏转。关于该实验, 下列说法正确的是

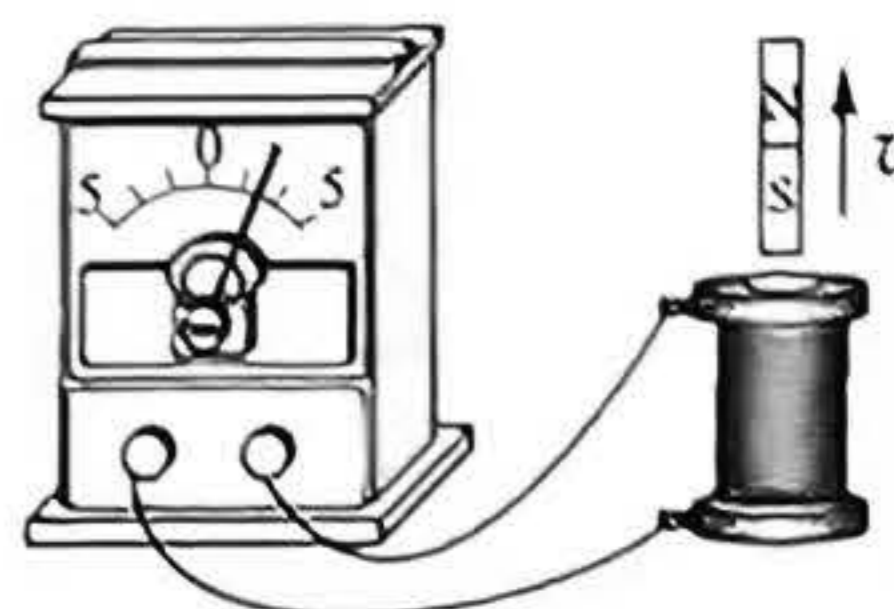


图 5

- A. 必须保证磁体匀速运动, 灵敏电流计指针才会向右偏转
- B. 若将磁体向上加速抽出, 灵敏电流计指针也会向右偏转
- C. 将磁体的 N、S 极对调, 并将其向上抽出, 灵敏电流计指针仍向右偏转
- D. 将磁体的 N、S 极对调, 并将其向下插入, 灵敏电流计指针仍向右偏转

7. 如图 6 所示, 理想变压器原线圈接在 $u = U_m \sin(\omega t + \varphi)$ 的交流电源上, 副线圈接一定值电阻 R , 电流表和电压表均视为理想电表。当开关 S 由 1 端拨到 2 端后, 各电表示数的变化情况是

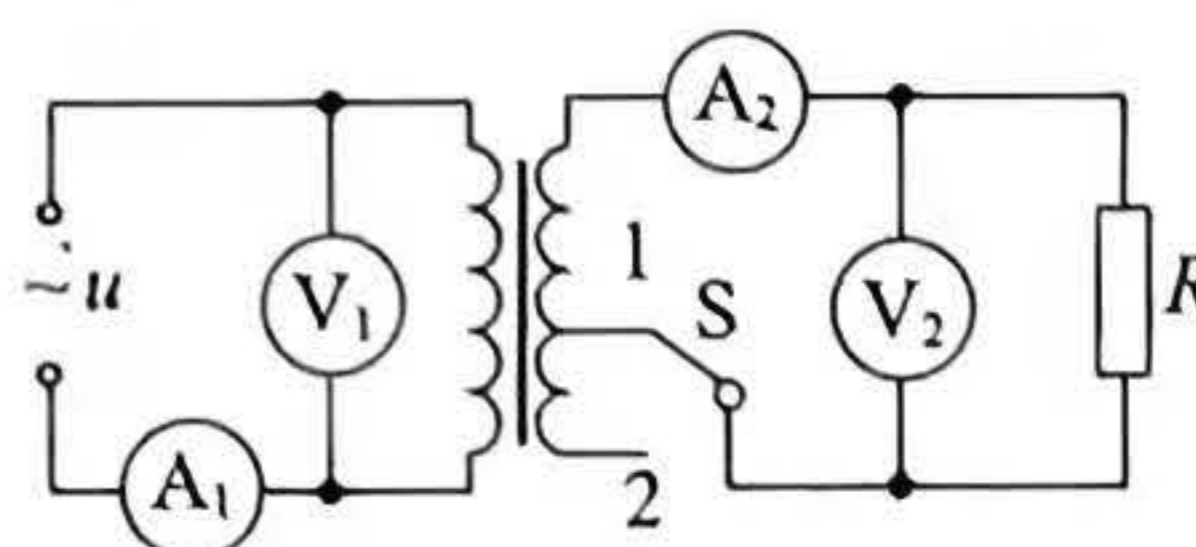


图 6

- A. V_1 示数不变 B. V_2 示数变小
- C. A_1 示数变大 D. A_2 示数变小

8. 如图 7 所示, 用洛伦兹力演示仪研究带电粒子在匀强磁场中的运动, 以虚线表示电极 K 释放出来的电子束的径迹。在施加磁场之前, 电子经加速后沿直线运动, 如图甲所示; 施加磁场后电子束的径迹, 如图乙所示; 再调节演示仪可得到图丙所示的电子束径迹。下列说法正确的是

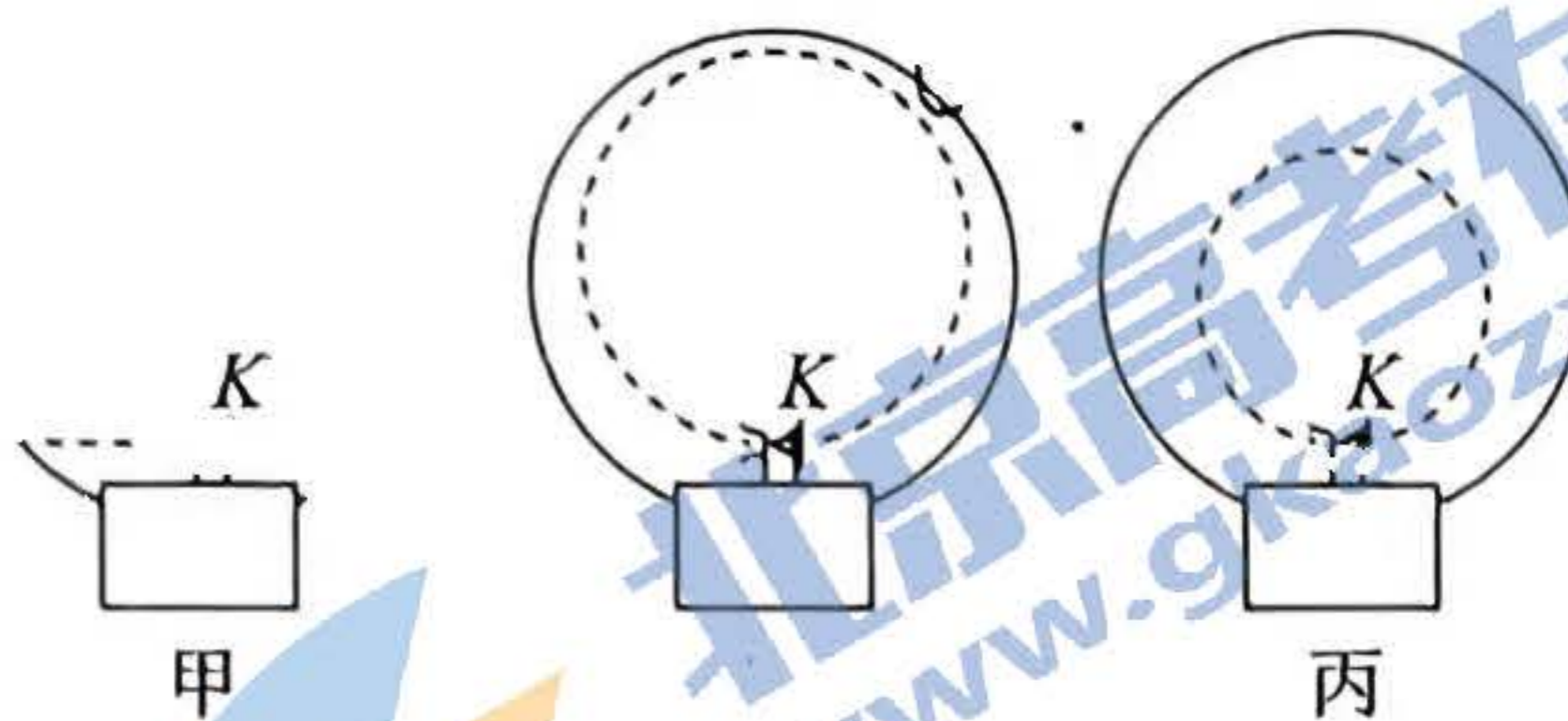


图 7

- A. 施加的磁场方向为垂直纸面向外
- B. 在图乙基础上仅提高电子的加速电压, 可得到图丙所示电子束径迹
- C. 在图乙基础上仅增大磁感应强度, 可得到图丙所示电子束径迹
- D. 图乙与图丙中电子运动一周的时间可能不相等

9. 为了测定某平行于纸面的匀强电场的场强, 某同学进行了如下操作: 取电场内某一位置为坐标原点 O 建立 x 轴, 选取 x 轴上到 O 点距离为 r 的 P 点, 以 O 为圆心、 r 为半径作圆, 如图 8 甲所示。从 P 点起沿圆周逆时针测量圆上各点的电势 φ 和转过的角度 θ , 可以用此数据绘制 $\varphi-\theta$ 图。当半径 r 分别取 r_0 、 $2r_0$ 、 $3r_0$ 时, 分别绘制出图 8 乙中所示的三条曲线。三条曲线均在 $\theta = \theta_0$ 时达到最大值, 最大值分别为 $4\varphi_0$ 、 $3\varphi_0$ 、 $2\varphi_0$ 。下列说法正确的是

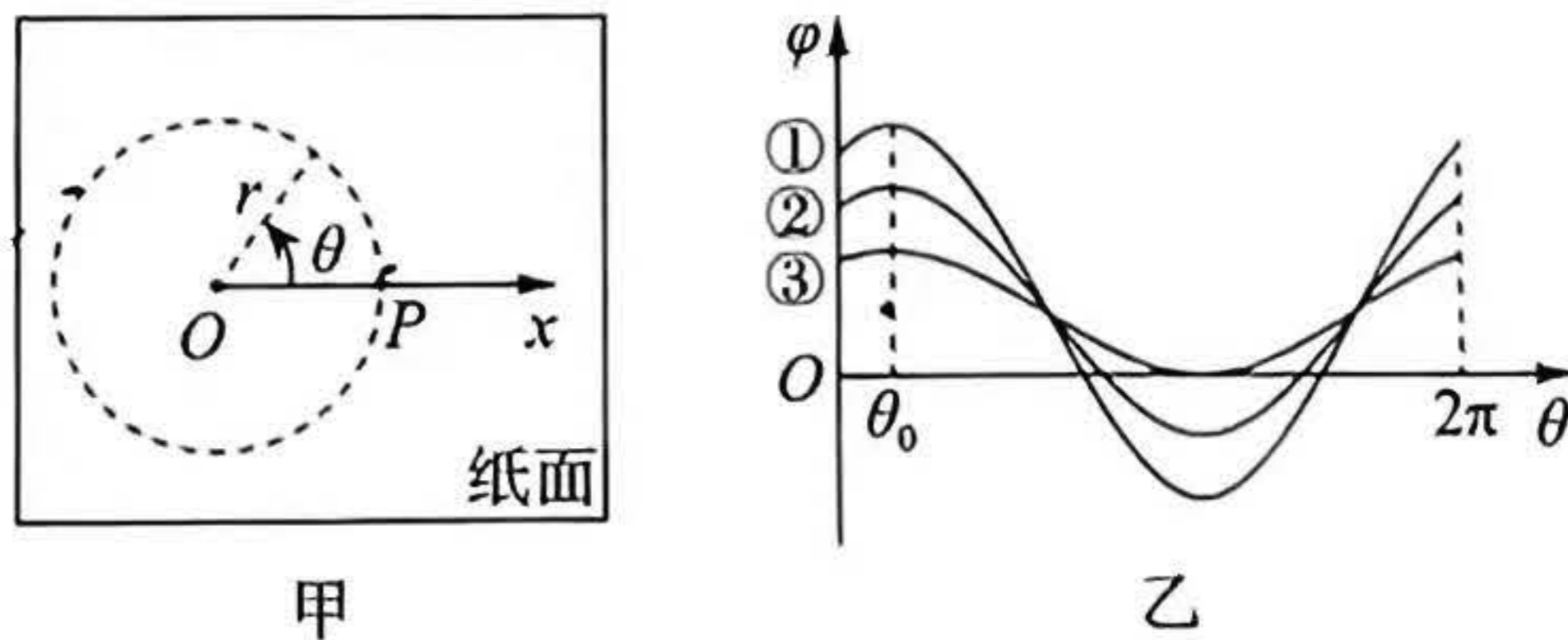


图 8

- A. 曲线①对应的 r 取值为 r_0
- B. 电场方向沿 x 轴正方向
- C. 坐标原点 O 的电势为 φ_0
- D. 电场强度的大小为 $\frac{4\varphi_0}{3r_0}$

10. 金属自由电子气理论认为金属中的自由电子好像气体分子一样，总是在不停地做无规则热运动，由于自由电子会与金属离子发生碰撞，其在金属中的运动轨迹是“曲折”的路线。当存在外加电场 E 时，自由电子在杂乱无章的热运动基础上会叠加一个沿电场力方向的定向移动，如图 9 所示。大量自由电子沿同一方向的定向移动形成了宏观的电流，通常情况下，电流稳定时，自由电子定向移动的速率约为 10^{-4}m/s ，自由电子热运动的速率约为 10^5m/s 。

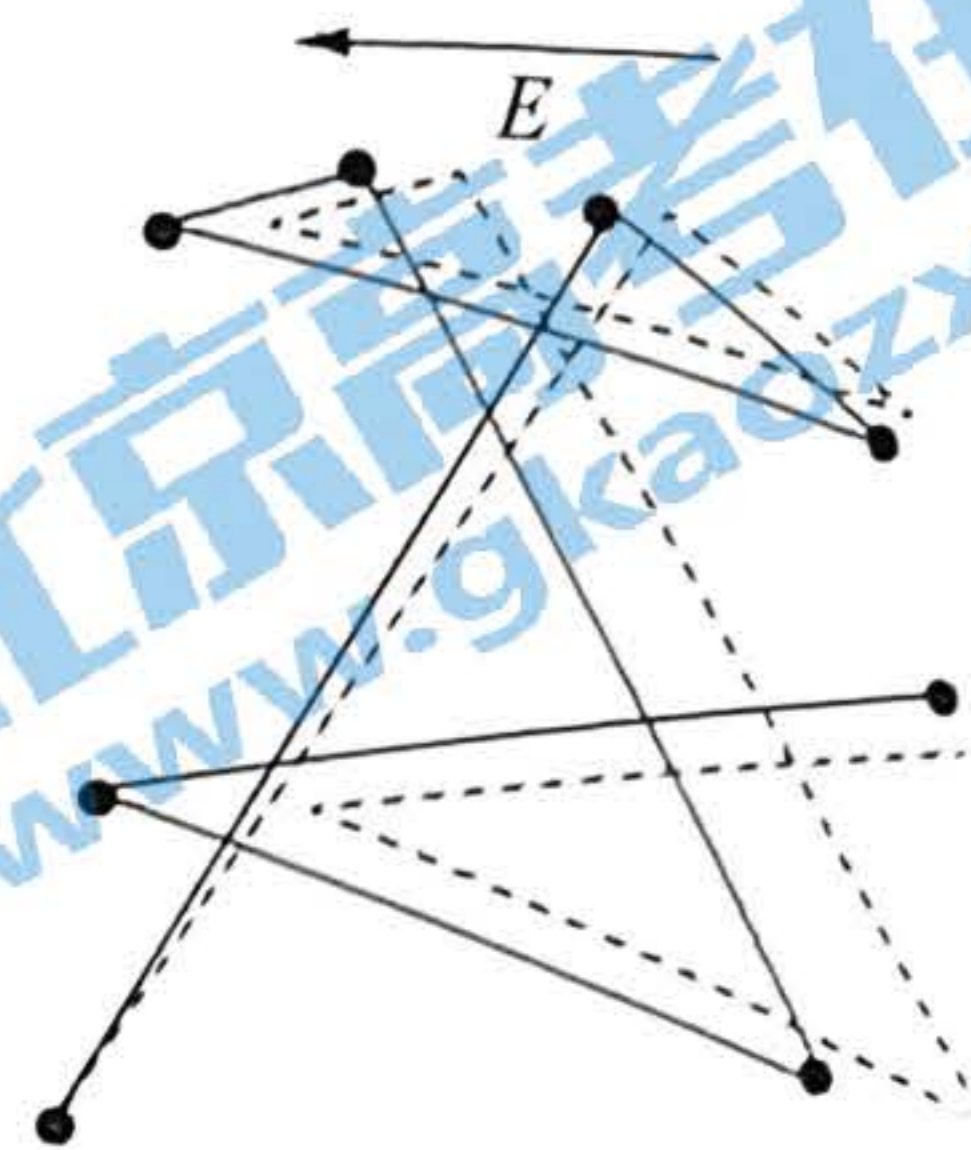


图 9

可以将金属导电问题简化为下述过程：自由电子每次与金属离子碰撞后，定向移动速率变为 0；接着自由电子在电场力的作用下重新加速获得定向移动速度，直到再次与金属离子发生碰撞。

根据以上信息，下列说法正确的是

- A. 相较于自由电子的定向移动速率，热运动速率对碰撞频率影响更大
- B. 相较于自由电子的热运动速率，定向移动速率对碰撞频率影响更大
- C. E 恒定时，若碰撞频率升高，金属中自由电子定向移动形成的电流不变
- D. E 恒定时，若碰撞频率升高，金属中自由电子定向移动形成的电流变小

第二部分

本部分共 8 题，共 70 分。

11. (5 分) 某同学用电流传感器和电压传感器研究电容器的放电情况，按图 10 连接电路。实验时，先将开关 S 与 1 端相连，待电路稳定后，将开关掷向 2 端，传感器将信息传入计算机，屏幕上可以显示出电流、电压随时间变化的 $i-t$ 图线、 $u-t$ 图线。

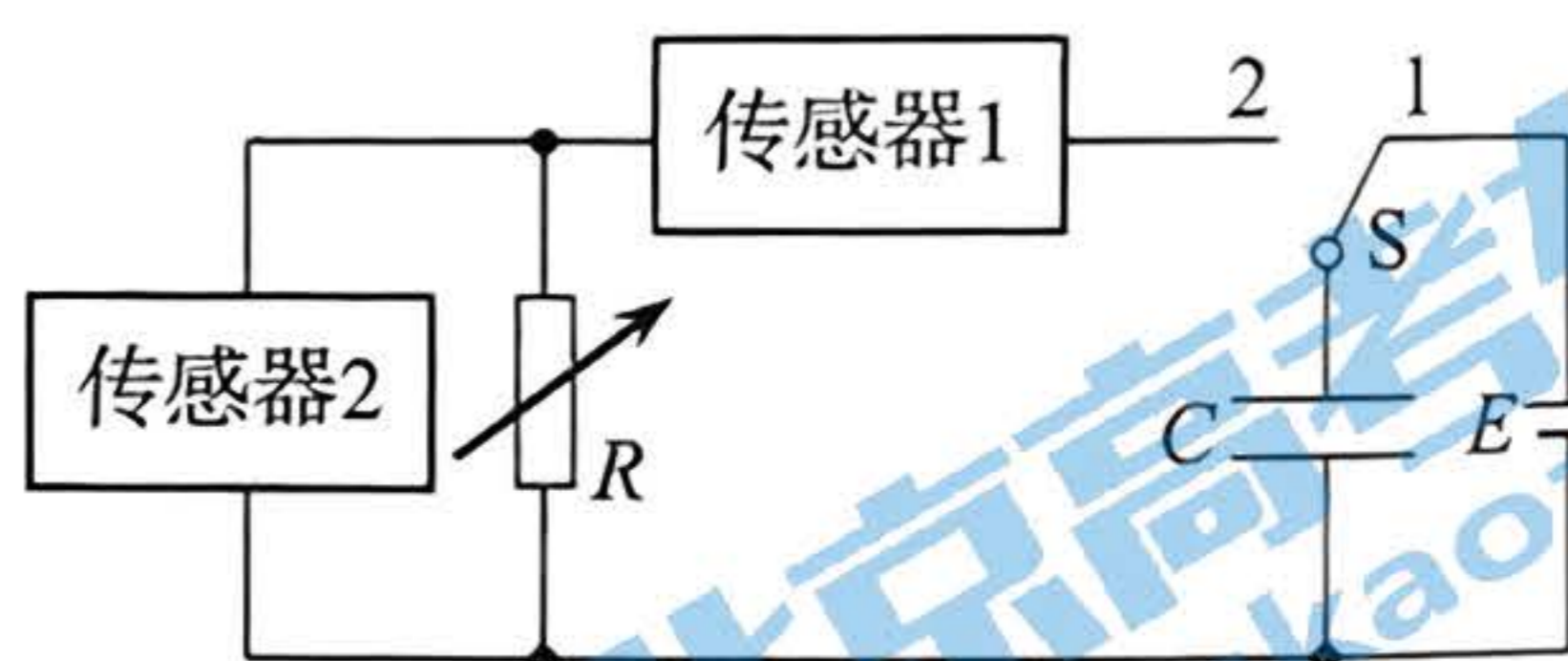


图 10

- (1) 由图 10 可知，传感器 2 应为_____传感器（选填“电流”或“电压”）。
- (2) 计算机屏幕上显示的 $i-t$ 图线可能为图 11 中的_____， $u-t$ 图线可能为图 11 中的_____。

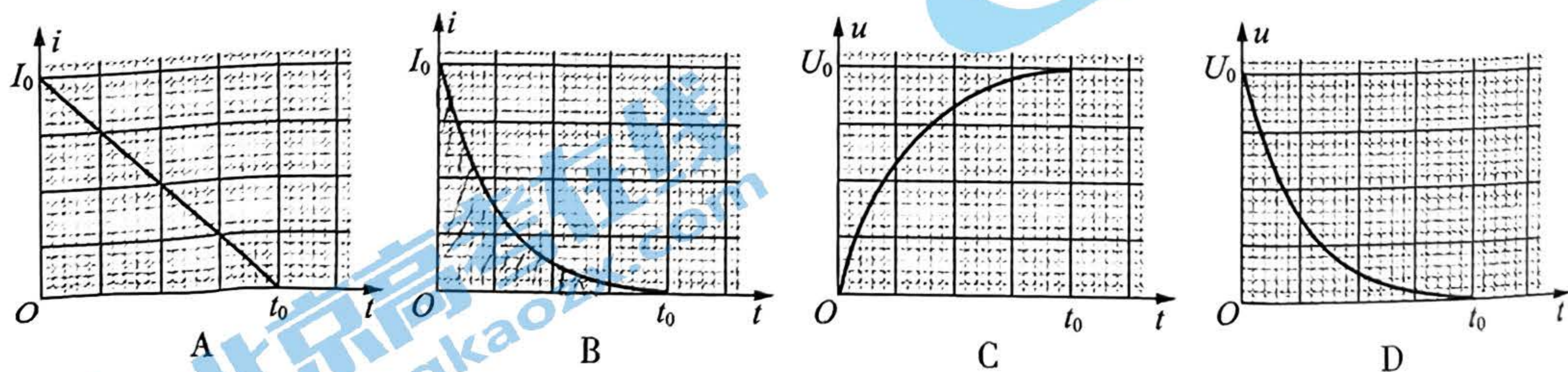


图 11

(3) 结合屏幕显示的 $i-t$ 图线、 $u-t$ 图线信息，可以估算出_____。

- A. 电容器的电容
- B. 电容器储存的电荷量

12. (10分) 在“测量金属丝的电阻率”的实验中, 实验小组的同学测量一段阻值约为 5Ω 、粗细均匀金属丝的电阻率。

(1) 用螺旋测微器分别在三个不同的位置测量金属丝的直径, 某次示数如图 12 所示, 该次测量值为 _____ mm。

(2) 实验小组的同学采用图 13 所示的电路图, 用伏安法测金属丝的电阻 R_x , 现有电源 (电动势为 $3.0V$, 内阻可忽略不计), 开关和导线若干, 以及下列器材:

- A. 电压表 V_1 (量程 $0\sim 3V$, 内阻约 $3k\Omega$)
- B. 电压表 V_2 (量程 $0\sim 15V$, 内阻约 $15k\Omega$)
- C. 电流表 A_1 (量程 $0\sim 3A$, 内阻约 0.025Ω)
- D. 电流表 A_2 (量程 $0\sim 0.6A$, 内阻约 0.125Ω)
- E. 滑动变阻器 R_1 ($0\sim 5\Omega$, $3A$)
- F. 滑动变阻器 R_2 ($0\sim 1000\Omega$, $0.5A$)

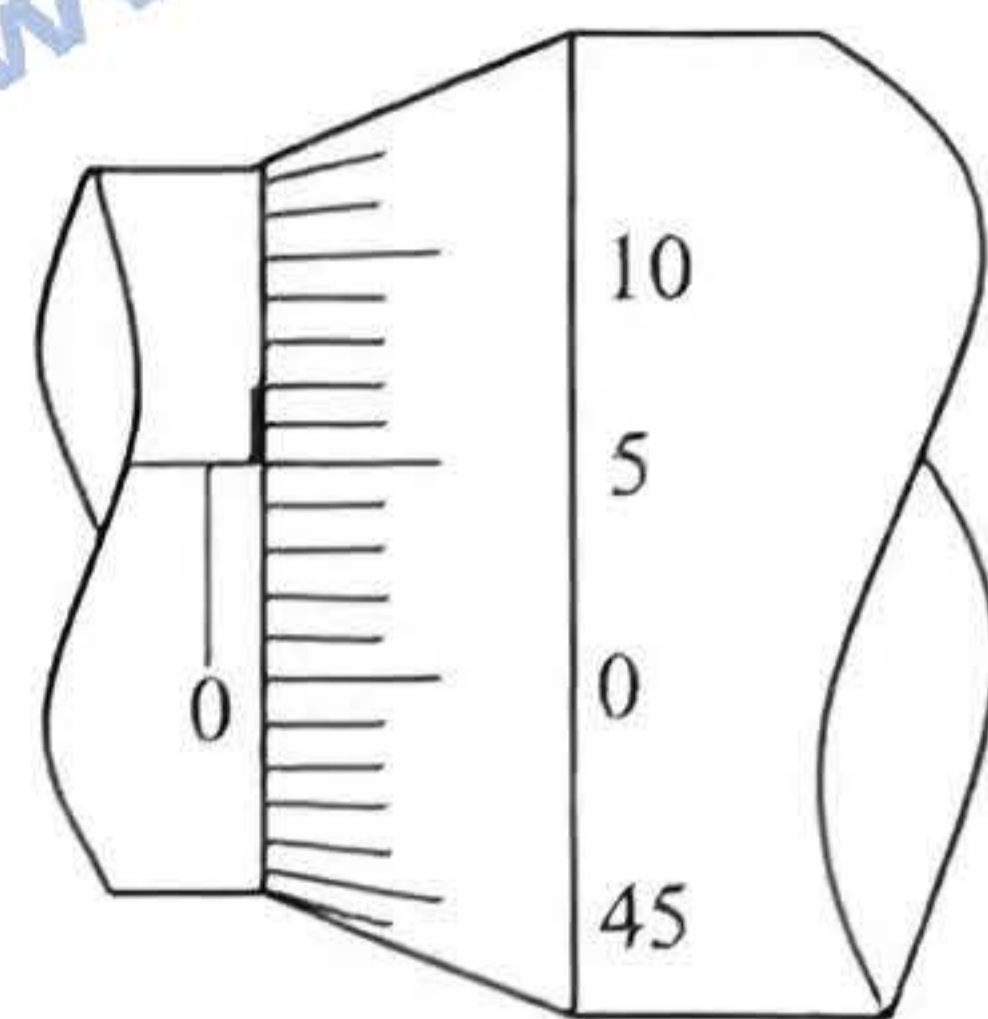


图 12

①为减小测量误差, 在实验中, 电压表应选用 _____, 电流表应选用 _____, 滑动变阻器应选用 _____。(选填各器材前的字母)

②图 14 是测量 R_x 的实验器材实物图, 图中已连接了部分导线。请根据图 13 的电路图, 补充完成图 14 中实物间的连线。

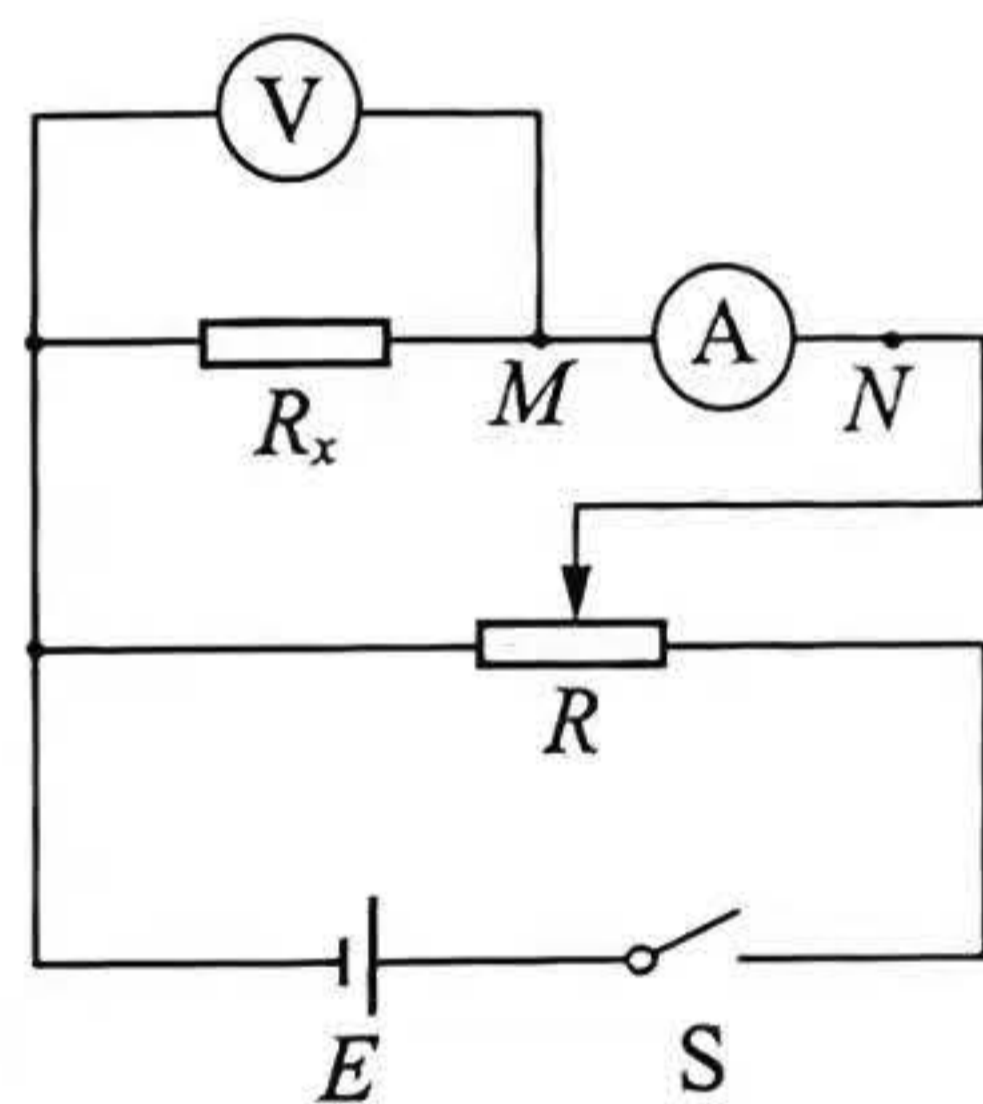


图 13

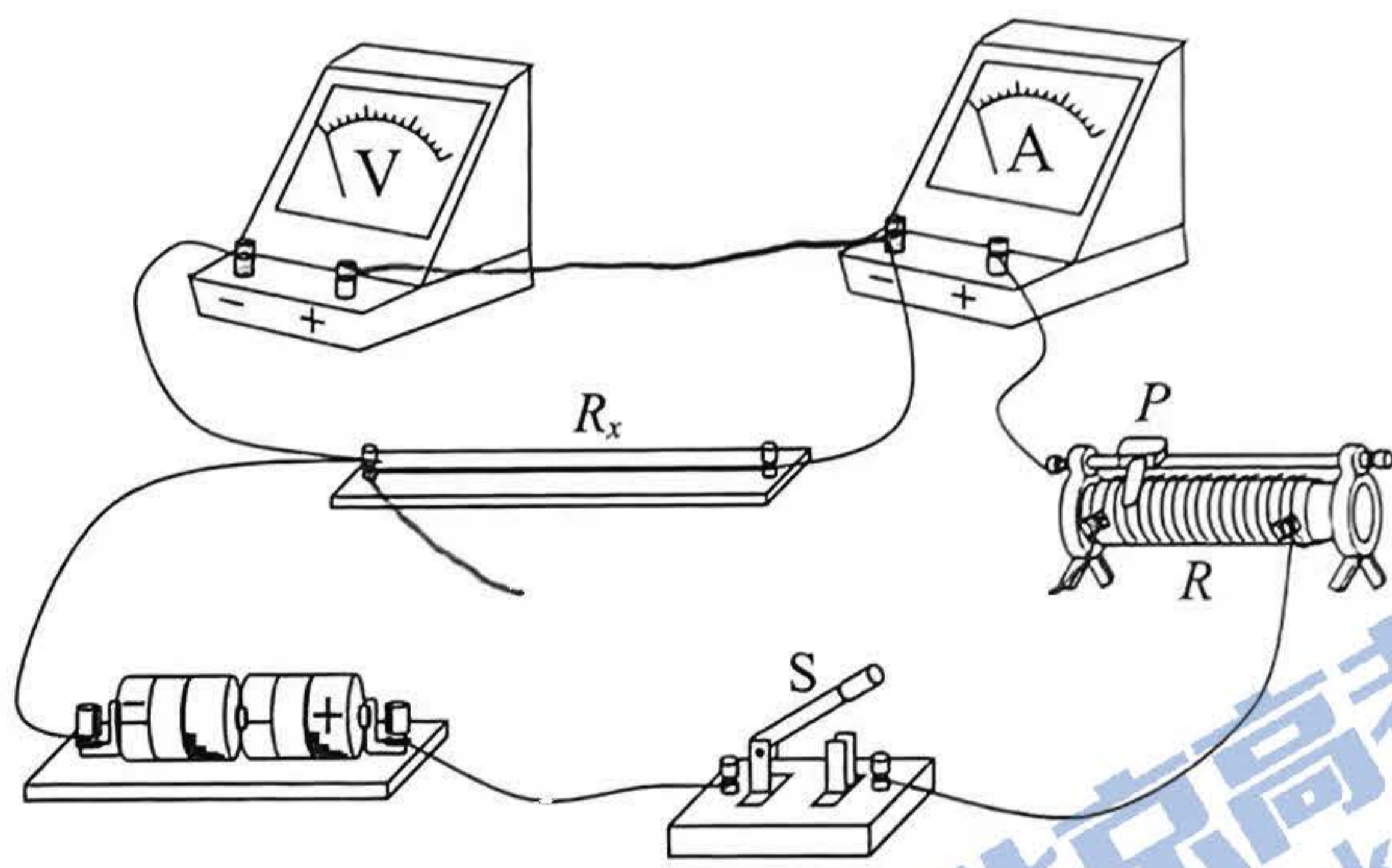


图 14

(3) 测量出金属丝直径为 d 、长度为 L , 电压表示数为 U , 电流表示数为 I , 则该金属丝电阻率测量值的表达式 $\rho =$ _____。考虑电流表和电压表内阻引起的误差, 该测量值 _____ 真实值 (选填“大于”或“小于”)。

(4) 在测量另一根阻值未知的金属丝电阻率时, 实验小组的同学将电流表换成了量程为 $0\sim 100mA$ 的毫安表, 依据图 13 连接了电路, 调整滑动变阻器 R 后保持 R 的阻值不变。然后, 将电压表右侧导线分别接在 M 点和 N 点, 读出相应的电压表和毫安表示数, 记录在表格中。根据这两组数据, 同学们认为将电压表右侧导线接在 M 点比接在 N 点实验误差更小。请判断他们得出的结论是否正确, 并说明理由。

	接 M 点	接 N 点
U/V	0.8	0.9
I/mA	84	83

13. (8分) 如图 15 所示, 两根平行光滑金属导轨 MN 和 PQ 固定在水平面上, 其间距为 L , 磁感应强度为 B 的匀强磁场垂直轨道平面向下, 两导轨之间连接一阻值为 R 的电阻。在导轨上有一金属杆 ab , 其电阻值为 r , 杆 ab 长度恰与导轨间距相等。在杆 ab 上施加水平拉力使其以速度 v 向右匀速运动, 运动过程中金属杆始终与导轨垂直且接触良好。设金属导轨足够长, 不计导轨电阻和空气阻力。求:

- (1) 金属杆 ab 产生的感应电动势 E ;
- (2) 金属杆 ab 两端的电压 U_{ab} ;
- (3) 拉力做功的功率 P 。

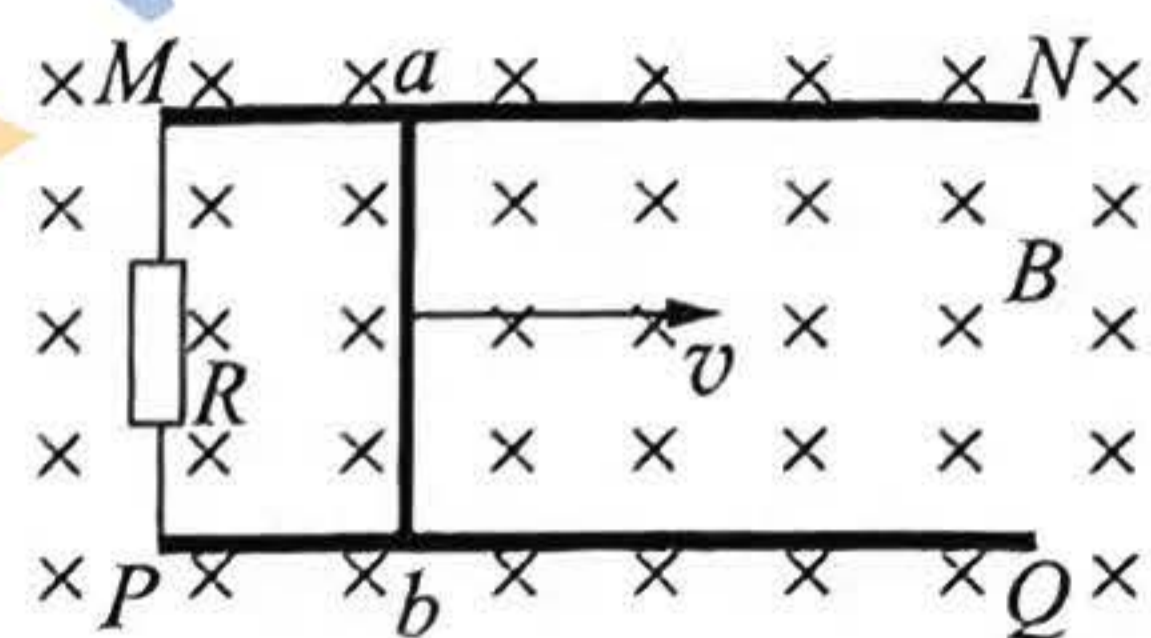


图 15

14. (8分) 长为 L 的轻质绝缘细线一端悬于 O 点, 另一端系一质量为 m 、电荷量为 $+q$ 的小球 (可视为质点)。如图 16 所示, 在空间施加沿水平方向的匀强电场 (图中未画出), 小球静止在 A 点, 此时细线与竖直方向夹角 $\alpha = 37^\circ$ 。已知 $\sin 37^\circ = 0.6$, $\cos 37^\circ = 0.8$, 电场的范围足够大, 重力加速度为 g 。

- (1) 求匀强电场的电场强度大小 E 。
- (2) 保持细线始终张紧, 将小球从 A 点拉起至与 O 点处于同一水平高度的 B 点。
 - a. 求 A 、 B 两点间的电势差 U ;
 - b. 将小球由 B 点静止释放, 求小球运动至 A 点时速度的大小 v 。

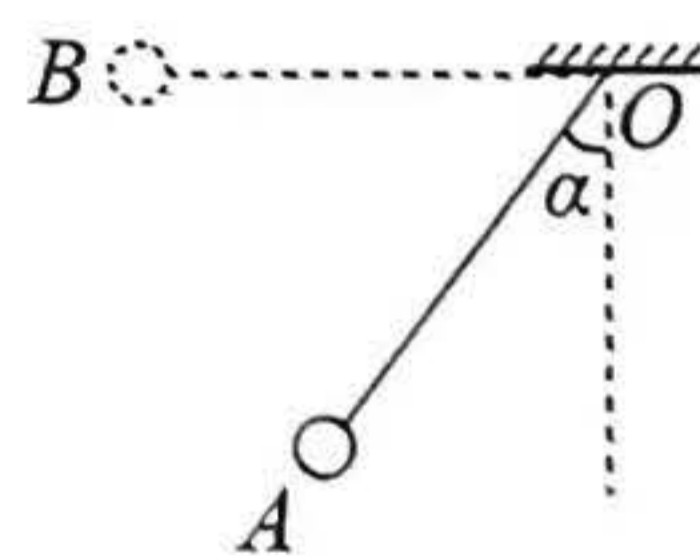


图 16

15. (8分) 如图 17 所示, 交流发电机的矩形金属线圈 $abcd$ 的边长 $ab = cd = 40\text{cm}$, $bc = ad = 20\text{cm}$, 匝数 $n = 100$, 线圈的总电阻 $r = 6\Omega$, 线圈位于磁感应强度 $B = 0.04\text{T}$ 的匀强磁场中, 线圈平面与磁场方向平行。线圈的两个末端分别与两个彼此绝缘的铜环 E 、 F (集流环) 焊接在一起, 并通过电刷与阻值 $R = 90\Omega$ 的定值电阻连接。现使线圈绕过 bc 和 ad 边中点、且垂直于磁场的转轴 OO' 以角速度 $\omega = 300\text{rad/s}$ 匀速转动。电路中其他电阻以及线圈的自感系数均可忽略不计。

- (1) 从线圈经过图示位置开始计时, 写出线圈内的电动势瞬时值的表达式;
- (2) 求通过电阻 R 的电流有效值 I ;
- (3) 求线圈转动 1min 电阻 R 上产生的热量 Q 。

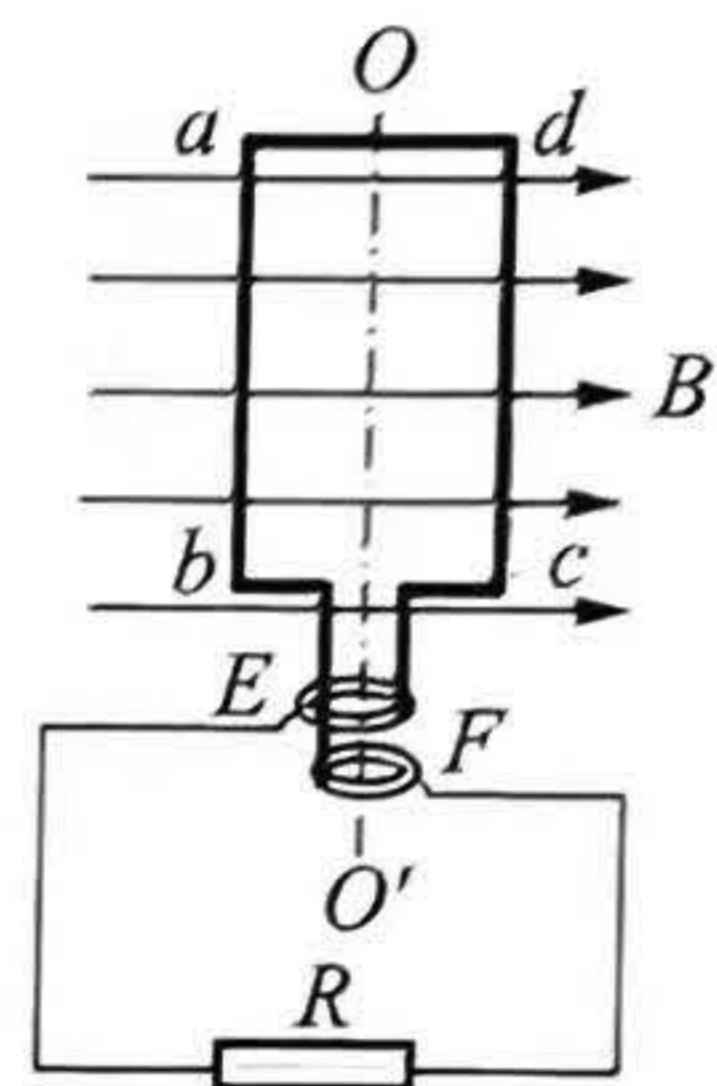


图 17

16. (9分) 如图 18 所示, 将一细导线围成边长为 d 的单匝正方形线框, 并固定在水平纸面内。虚线 MN 恰好将线框分为左右对称的两部分, 在虚线 MN 左侧的空间内存在与纸面垂直的匀强磁场, 规定垂直于纸面向里为磁场的正方向, 磁感应强度 B 随时间 t 变化的规律如图 19 所示。已知线框的电阻为 R , $t = t_0$ 时匀强磁场的磁感应强度大小为 B_0 。

- (1) 若虚线 MN 右侧的空间不存在磁场, 求:
 - a. 线框中产生的感应电动势大小 E ;
 - b. 在 $0 \sim 2t_0$ 内, 通过线框某横截面的电荷量 q 。
- (2) 若虚线 MN 右侧存在垂直纸面向外的匀强磁场, 磁感应强度大小恒为 B_0 , 如图 20 所示。求 $t = 2t_0$ 时线框受到的安培力大小 F 。

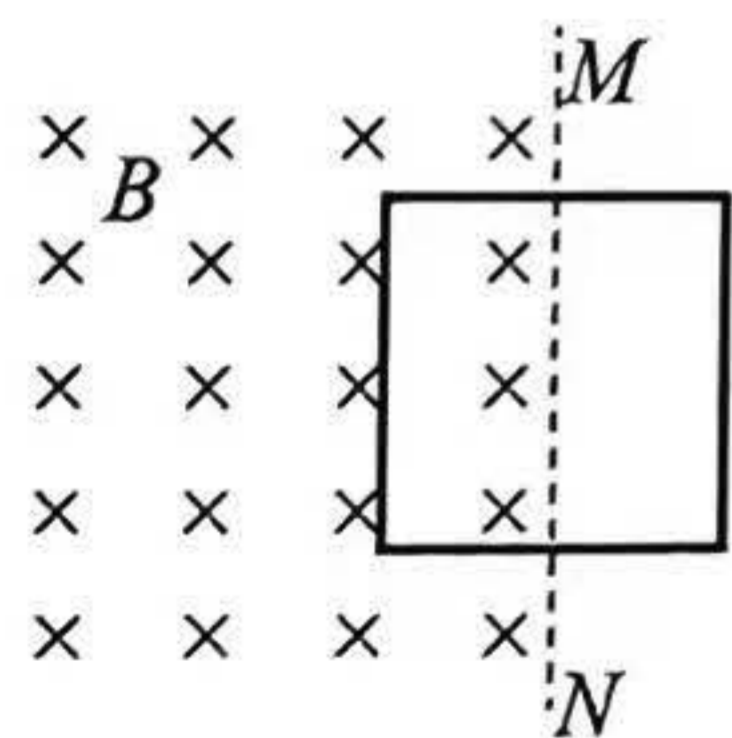


图 18

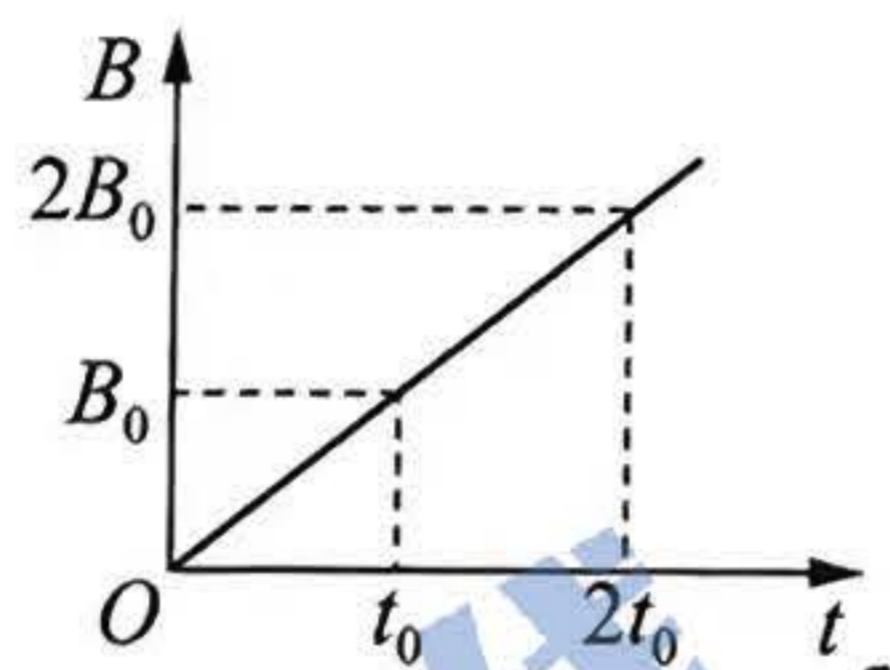


图 19



图 20

17. (10分) 如图 21 所示, M 、 N 为竖直放置的平行金属板, 两板间所加电压为 U_0 , S_1 、 S_2 为板上正对的小孔。平行金属板 P 和 Q 水平放置在 N 板右侧, 关于小孔 S_1 、 S_2 所在直线对称, P 、 Q 两板的长度和两板间的距离均为 d , P 、 Q 两极板间加电压可形成偏转电场; 距金属板 P 和 Q 右边缘 d 处固定有一荧光屏, 荧光屏垂直于金属板 P 和 Q ; 屏上 O 点与 S_1 、 S_2 共线。加热的阴极 K 发出的电子经小孔 S_1 进入 M 、 N 两板间, 通过 M 、 N 间的加速电场加速后, 进入 P 、 Q 间的偏转电场。已知电子的质量为 m , 电荷量为 e , 单位时间内从小孔 S_1 进入的电子个数为 n , 初速度可以忽略。整个装置处于真空中, 偏转电场可视为匀强电场, 忽略电子重力及电子间的相互作用, 不考虑相对论效应。

(1) 求电子到达小孔 S_2 时的速度大小 v_0 。

(2) a. 若在 P 、 Q 两板间加一恒定电压, 使电子刚好从 P 板的右边缘离开偏转电场, 打在荧光屏上, 求 P 、 Q 两板间的恒定电压 U_1 ;

b. 若在 P 、 Q 两板间加一周期为 T_0 的交变电压 $u = 4U_0 \sin \frac{2\pi}{T_0} t$, 电子穿过偏转电场的时间远小于 T_0 , 可以认为每个电子在 P 、 Q 间运动过程中两板间的电压恒定, 不考虑电场变化时产生的磁场, 求 $0 \sim T_0$ 时间内打在荧光屏上的电子数目 A 。

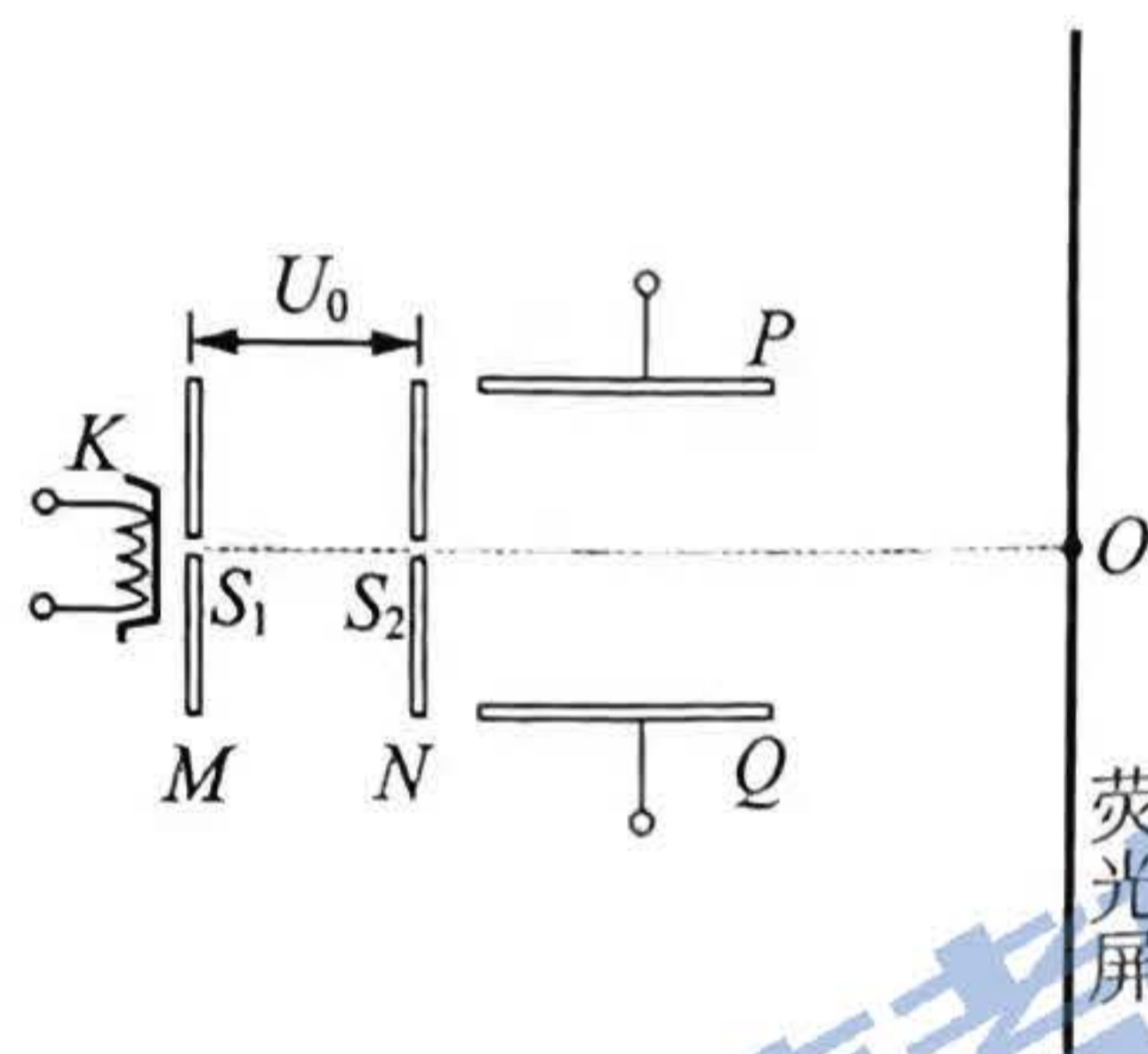


图 21

18. (12分) 半导体内导电的粒子——“载流子”有两种：电子和空穴（空穴可视为能移动的带正电的粒子），每个载流子所带电量的绝对值均为 e 。

如图 22 所示，将一块长为 a 、宽为 b 、厚为 c 的长方体半导体样品板静止放置，沿 x 轴方向施加一个匀强电场，使得半导体中产生沿 x 轴正方向的恒定电流，之后沿 y 轴正方向施加磁感应强度大小为 B 的匀强磁场，很快会形成一个沿 z 轴负方向的稳定电场，称其为霍尔电场。

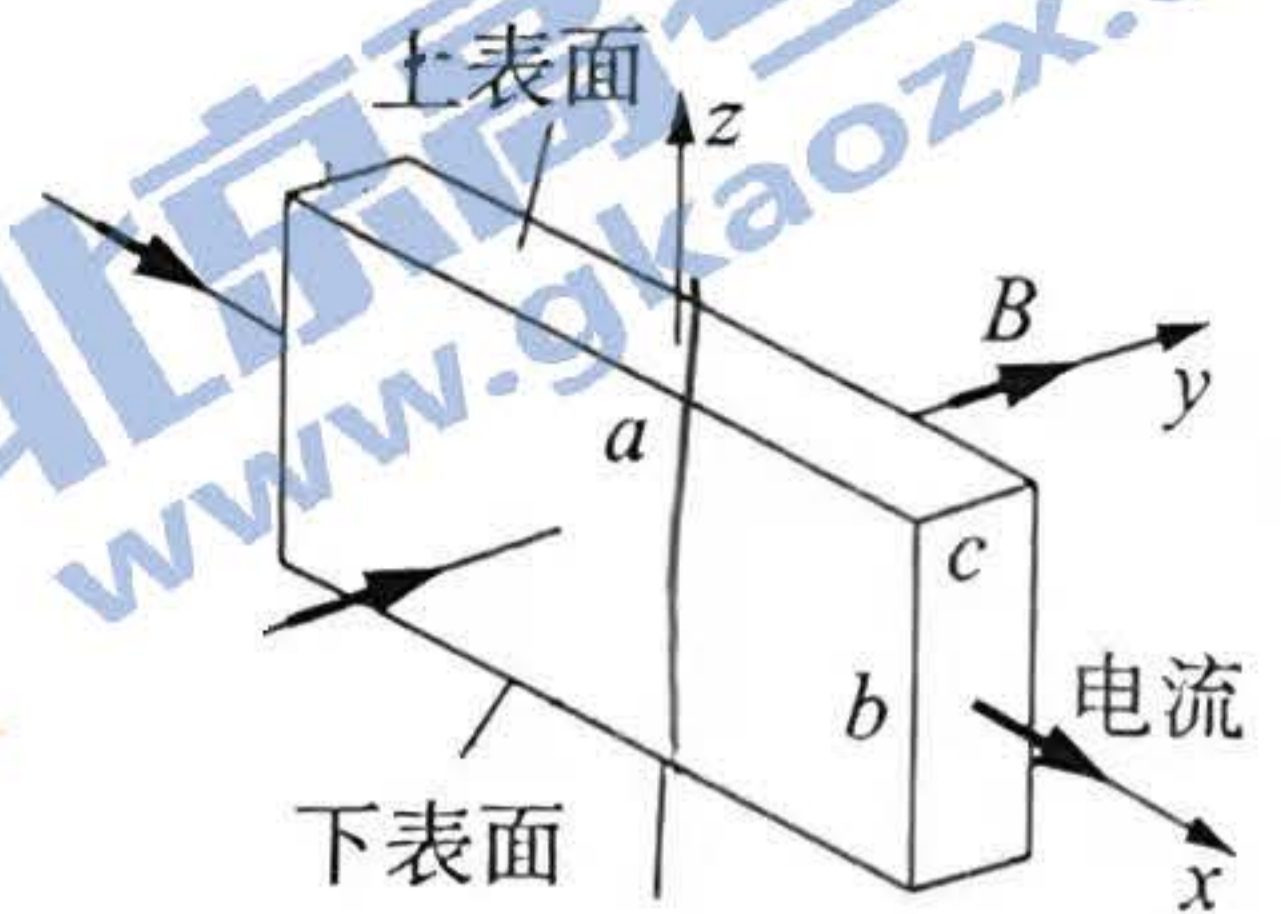


图 22

- (1) 若样品板中只存在一种载流子，测得与 z 轴垂直的两个侧面（图 22 中“上表面”和“下表面”）之间电势差为 U_H ，求霍尔电场的电场强度大小 E_H 。
- (2) 现发现一种新型材料制成的样品板中同时存在电子与空穴两种载流子，单位体积内电子和空穴的数目之比为 ρ 。电子和空穴在半导体中定向移动时受到材料的作用可以等效为一个阻力，假定所有载流子所受阻力大小正比于其定向移动的速率，且比例系数相同。
- a. 请在图 23（图 22 的样品板局部侧视图）中分别画出刚刚施加磁场瞬间，电子和空穴所受洛伦兹力的示意图。

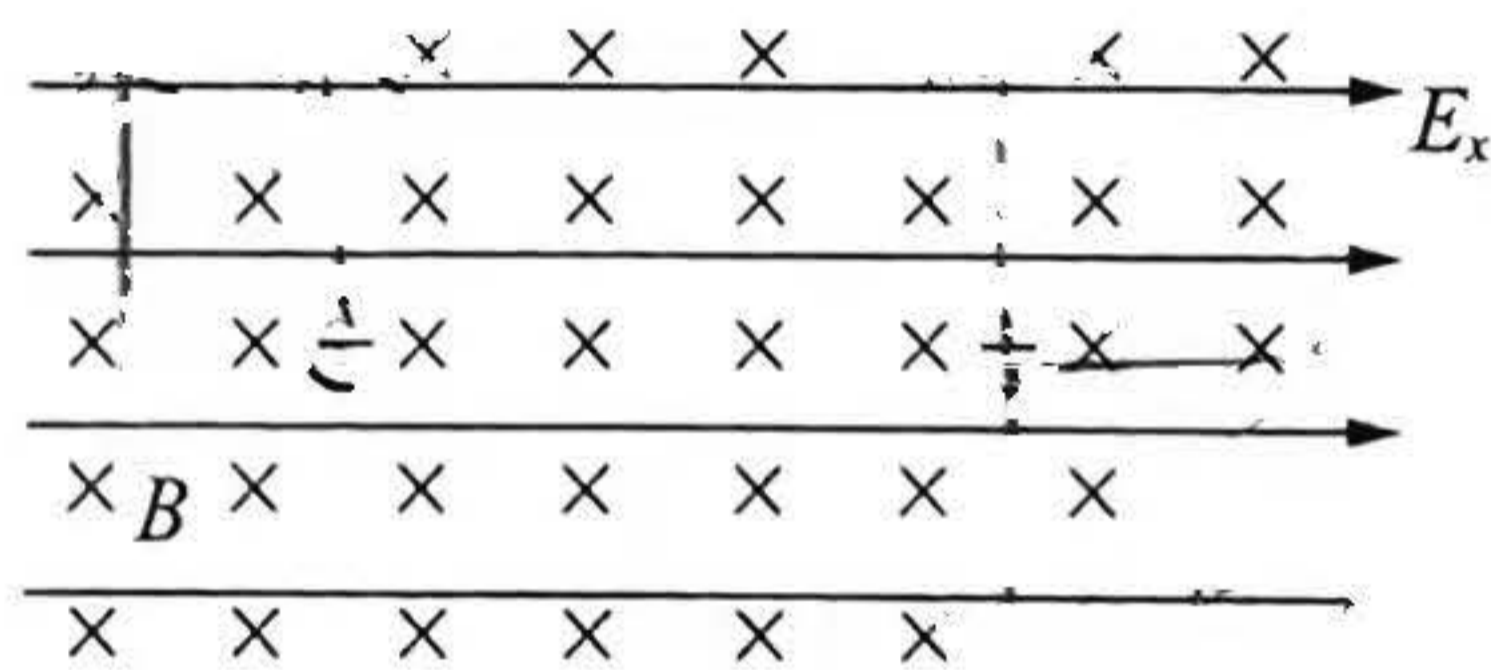


图 23

- b. 在霍尔电场稳定后（即图 22 中“上表面”和“下表面”积累的电荷量不再改变），电子和空穴沿 x 方向定向移动的速率分别为 v_1 和 v_2 。关于电子和空穴沿 z 轴方向的运动情况，某同学假设了两种模型：
- 模型①：电子和空穴都不沿 z 轴方向做定向移动；
- 模型②：电子和空穴仍沿 z 轴方向做定向移动。
- 请依据受力情况和电荷守恒等基本规律，判断该样品中电子和空穴沿 z 轴方向的运动情况符合哪种模型。
- 若认为模型①正确，请计算电子受到的霍尔电场的电场力大小 F_1 ；
- 若认为模型②正确，请计算电子与空穴沿 z 方向定向移动的速率 v'_1 和 v'_2 之比。
- c. 在 (2) b 基础上，求霍尔电场稳定后电场强度大小 E_z 。

高三物理

2022.01

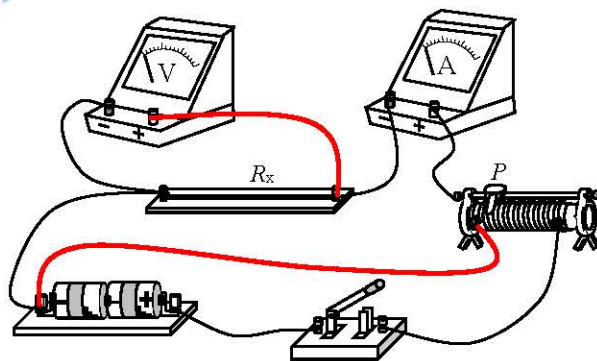
第一部分共10题，每题3分，共30分。在每题给出的四个选项中，有的题只有一个选项是符合题意的，有的题有多个选项是符合题意的。全部选对的得3分，选不全的得2分，有选错或不答的得0分。

题号	1	2	3	4	5	6	7	8	9	10
答案	BD	AD	C	BD	D	BD	AC	CD	C	AD

第二部分共8题，共70分。

11. (5分)

- (1) 电压
- (2) B; D
- (3) AB



答图 1

12. (10分)

- (1) 0.550
- (2) ①A; D; E ②如答图 1
- (3) $\frac{\pi U d^2}{4IL}$; 小于

(4) 该小组同学的结论正确。对电压表右侧导线接在M点和接在N点进行比较，电压表示数的相对变化为 $\frac{0.9-0.8}{0.9} \times 100\% = 11.1\%$ ，电流表示数的相对变化为

$$\frac{84-83}{83} \times 100\% = 1.2\%$$

可见电压表变化明显，将电压表右侧导线接在M点误差小。

13. (8分)

(1) 由法拉第电磁感应定律可得，感应电动势

$$E = BLv$$

(2) 金属杆 ab 中电流为

$$I = \frac{E}{R+r}$$

金属杆 ab 两端电压为

$$U_{ab} = IR$$

得

$$U_{ab} = \frac{R}{R+r} BLv$$

(3) 拉力大小等于安培力大小

$$F = BIL$$

拉力的功率

$$P = Fv$$

得

$$P = \frac{B^2 L^2 v^2}{R+r}$$

14. (8分)

(1) 小球静止在 A 点时受力平衡, 如答图 2 所示:

根据平衡条件

$$qE = mg \tan \alpha$$

得

$$E = \frac{mg \tan \alpha}{q} = \frac{3mg}{4q}$$

(2) a. 根据 (1) 可知匀强电场方向水平向左。

A 、 B 两点沿电场线方向距离 $d = L - L \sin \alpha = 0.4L$

根据电势差与场强的关系

$$U = Ed$$

得

$$U = \frac{3mgL}{10q}$$

b. 小球从 B 点运动至 A 点的过程中

根据动能定理 $mgL \cos \alpha - qU = \frac{1}{2}mv^2 - 0$

得

$$v = \sqrt{gL}$$

15. (8分)

(1) 线圈产生感应电动势的最大值 $E_m = nB\omega ab \cdot bc$

得

$$E_m = 96 \text{ V}$$

线圈经过图示位置开始计时, 线圈内的电动势瞬时值的表达式

$$e = E_m \cos \omega t = 96 \cos 300t \text{ V}$$

(2) 根据闭合电路欧姆定律可知, 线圈中感应电流的最大值

$$I_m = \frac{E_m}{R+r}$$

通过电阻 R 的电流的有效值

$$I = \frac{I_m}{\sqrt{2}}$$

得

$$I = 0.71 \text{ A}$$

(3) 电阻 R 上产生的热量

$$Q = I^2 Rt$$

得

$$Q = 2.7 \times 10^3 \text{ J}$$

16. (9分)

(1) a. 由法拉第电磁感应定律可得, 感应电动势

$$E = \frac{\Delta \Phi}{\Delta t} = \frac{\Delta B}{\Delta t} \cdot \frac{d^2}{2}$$

由图像可知

$$\frac{\Delta B}{\Delta t} = \frac{B_0}{t_0}$$

导体框中产生的感应电动势

$$E = \frac{B_0 d^2}{2t_0}$$

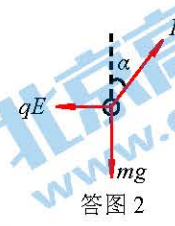
b. 导体框中电流

$$I = \frac{E}{R}$$

时间

$$t = 2t_0$$

通过导体框某横截面的电荷量 $q = It = \frac{B_0 d^2}{R}$



答图 2

(2) 当 $t = 2t_0$ 时, 虚线 MN 左侧磁感应强度为

$$B_1 = 2B_0$$

虚线 MN 左侧线框受到水平向右的安培力

$$F_1 = B_1 Id$$

虚线 MN 右侧线框受到水平向右的安培力

$$F_2 = B_0 Id$$

上、下两边框受到的安培力合力为 0

$$\text{导体框受到的安培力} \quad F = F_1 + F_2 = B_1 Id + B_0 Id = \frac{3B_0^2 d^3}{2t_0 R}$$

17. (10分)

(1) 由动能定理

$$eU_0 = \frac{1}{2}mv_0^2$$

得

$$v_0 = \sqrt{\frac{2eU_0}{m}}$$

(2) a. P 、 Q 两板间的电场强度为

$$E = \frac{U_1}{d} \quad \text{①}$$

电子在 P 、 Q 两板间加速度

$$a = \frac{eE}{m} \quad \text{②}$$

电子在 P 、 Q 两板间运动时间

$$t_1 = \frac{d}{v_0} \quad \text{③}$$

电子在 P 、 Q 两板间偏转位移

$$\frac{d}{2} = \frac{1}{2}at_1^2 \quad \text{④}$$

联立①-④式可得

$$U_1 = 2U_0$$

b. 当 P 、 Q 两板间的电压满足 $u \leq 2U_0$ 时, 电子才能从两板间射出, 即

$$4U_0 \sin \frac{2\pi}{T_0} t \leq 2U_0$$

在 $0 \sim \frac{T_0}{4}$ 时间内解得

$$0 \leq t \leq \frac{T_0}{12}$$

故在 $0 \sim T_0$ 时间内电子打在荧光屏上的时间

$$\Delta t = 4t = \frac{1}{3}T_0$$

在 $0 \sim T_0$ 时间内打在荧光屏上的电子数目

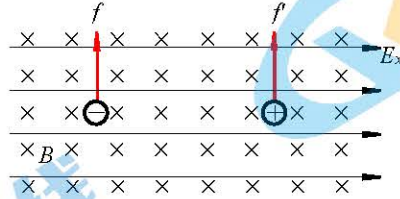
$$A = nt = \frac{nT_0}{3}$$

18. (12分)

(1) “上表面”和“下表面”之间的距离为 b

霍尔电场的电场强度
$$E_H = \frac{U_H}{b}$$

(2) a. 见答图3



答图3

b. 模型②正确。

设单位体积内电子的数目为 n_1 ，单位体积内空穴的数目为 n_2 ，

由题意可知

$$n_1:n_2 = \rho$$

当霍尔电场稳定时，在一段时间 Δt 内，到达上表面的所有电子的总电荷量与空穴的总电荷量必须相等，即

$$n_1 v_1' \Delta t \cdot ac = n_2 v_2' \Delta t \cdot ac$$

得

$$\frac{v_1'}{v_2'} = \frac{n_2}{n_1} = \frac{1}{\rho}$$

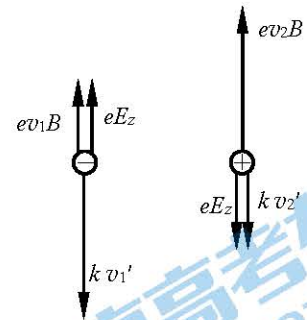
c. 电子和空穴沿 z 方向受力情况如答图4所示

电子沿 z 方向受力
$$ev_1 B + eE_z = kv_1' \quad \text{①}$$

空穴沿 z 方向受力
$$ev_2 B = kv_2' + eE_z \quad \text{②}$$

联立①②，结合(2)b结果可得

$$E_z = \frac{B(v_2 - \rho v_1)}{1 + \rho}$$



答图4

关于我们

北京高考在线创办于 2014 年，隶属于北京太星网络科技有限公司，是北京地区极具影响力的中学升学服务平台。主营业务涵盖：北京新高考、高中生涯规划、志愿填报、强基计划、综合评价招生和学科竞赛等。

北京高考在线旗下拥有网站门户、微信公众平台等全媒体矩阵生态平台。平台活跃用户 40W+，网站年度流量数千万量级。用户群体立足于北京，辐射全国 31 省市。

北京高考在线平台一直秉承 “精益求精、专业严谨” 的建设理念，不断探索 “K12 教育+互联网+大数据” 的运营模式，尝试基于大数据理论为广大中学和家长提供新鲜的高考资讯、专业的高考政策解读、科学的升学规划等，为广大高校、中学和教科研单位提供 “衔接和桥梁纽带” 作用。

平台自创办以来，为众多重点大学发现和推荐优秀生源，和北京近百所中学达成合作关系，累计举办线上线下升学公益讲座数百场，帮助数十万考生顺利通过考入理想大学，在家长、考生、中学和社会各界具有广泛的口碑影响力

未来，北京高考在线平台将立足于北京新高考改革，基于对北京高考政策研究及北京高校资源优势，更好的服务全国高中家长和学生。



微信搜一搜

北京高考资讯